

ORIGINAL ARTICLE

Determining the Relationship between Epstein Barr Virus and Nasopharyngeal Carcinoma by Polymerase Chain Reaction

Masoud Hamidi¹,
Mohammad Shayani Nasab²,
Mehrdad Hajilooei³,
Arash Dehghan⁴

¹ Young Researchers & Elites Club, Islamic Azad University, Hamedan Branch, Hamedan, Iran

² Department of Otorhinolaryngology, Faculty of Medicine, Hamedan University of Medical Sciences and Health Services, Hamedan, Iran

³ Department of Immunology, Molecular Medicine Research Center, Faculty of Medicine, Hamedan University of Medical Sciences and Health Services, Hamedan, Iran

⁴ Department of Pathology, Faculty of Medicine, Hamedan University of Medical Sciences and Health Services, Hamedan, Iran

(Received November 28, 2013 ; Accepted March 10, 2013)

Abstract

Background and purpose: The association of nasopharyngeal carcinoma (NPC) and Epstein-Barr virus (EBV) was firmly established as early as 1973. A clear understanding of its etiology is still lacking, but nasopharyngeal carcinoma is widely suspected to be the result of both a genetic susceptibility and exposure to environmental factors or Epstein-Barr virus infection. NPC is more prevalent in young age and Iran is a country with young population, therefore we set forth to study the level of infection with EBV.

Materials and methods: A 25-person group of NPC patient as the case group and a 25-person group of patients considered to be at risk of developing NPC as the control group were studied. DNA extraction of the tissue samples kept at hospital and laboratory archives was done as template in PCR.

Results: The mean ages of patients in case and control groups were 44.64 and 32.28 years, respectively. In case group 23 patients were positive for EBV-DNA while in control group 12 patients were positive for EBV-DNA.

Conclusion: Our data demonstrates that EBV is present at the site of tumor development in low-risk population. This survey supports the concept of NPC pathogenesis as a multifactorial process.

Keywords: Nasopharyngeal carcinoma Epstein Barr virus, Polymerase chain reaction.

J Mazand Univ Med Sci 2013; 23(Supple 1): 52-60 (Persian).

میزان عفونت EBV با سرطان نازوفارنکس به روش PCR

مسعود حمیدی^۱

محمد شایانی نسب^۲

مهرداد حاجیلوی^۳

آرش دهقان^۴

چکیده

سابقه و هدف: ارتباط بین سرطان نازوفارنکس با ویروس اپشتین-بار اولین بار در سال ۱۹۷۳ مشخص شد. تصویر روشنی از علت این سرطان وجود ندارد؛ به احتمال زیاد سرطان نازوفارنکس را نتیجه استعداد ژنتیکی و در معرض عوامل محیطی بودن و یا عفونت با ویروس اپشتین بار می‌دانند. به دلیل شیوع بالای سرطان نازوفارنکس در سنین جوانی از یک سو و جوان بودن جمعیت کشور ما از سوی دیگر، این مطالعه را به منظور تعیین میزان عفونت ویروس اپشتین بار با سرطان نازوفارنکس طرح ریزی نمودیم.

مواد و روش‌ها: این مطالعه توصیفی-مقطعي بوده که ۲۵ بیمار مبتلا به سرطان نازوفارنکس به عنوان گروه مورد و ۲۵ نفر از بیمارانی که احتمال ابتلاء به سرطان نازوفارنکس را داشته‌اند به عنوان گروه شاهد در نظر گرفته شدند. در انجام تحقیق، روش استخراج DNA از نمونه‌های بافتی که در آرشیوهای بیمارستانی و آزمایشگاهی نگهداری شده‌اند و استفاده از آن به عنوان الگو در آزمون PCR، بهینه سازی و انجام شد.

یافته‌ها: در گروه مورد میانگین سنی بیماران ۴۴/۶۴ سال و در گروه شاهد میانگین سنی بیماران ۳۲/۲۸ سال بود. در گروه مورد، ۲۳ مورد حاوی EBV-DNA و ۲ نمونه فاقد آن بودند، در حالی که در گروه کنترل، ۱۳ بیمار دارای EBV-DNA و ۱۲ مورد فاقد آن تشخیص داده شدند.

استنتاج: اطلاعات حاصله نشان می‌دهد که ویروس اپشتین بار در محل توسعه تومور در جمعیت با خطر پذیری پایین (گروه کنترل) حضور دارد و این فرض را که آسیب شناسی سرطان نازوفارنکس فرآیندی چند فاکتوری است تقویت می‌کند.

واژه‌های کلیدی: سرطان نازوفارنکس، ویروس اپشتین بار، واکنش زنجیره ای پلیمراز (PCR)

مقدمه

ناحیه سر و گردن می‌باشد. سروگردن که در سنین بالا شایع هستند بیشتر سنین میان‌سالی را گرفتار می‌کند و رتبه ششم را از نظر میزان مرگ و میر در هنگ‌کنگ در سال ۲۰۰۴ داشته است^(۱). سرطان نازوفارنکس تومور

Nasopharyngeal Carcinoma: سرطان نازوفارنکس (NPC) که از سلول‌های اپیتلیالی منشا می‌گیرد در کشورهای جنوب شرق آسیا مانند مالزی دومین سرطان شایع مردان (بعد از سرطان ریه) بوده و شایع‌ترین سرطان

E-mail: m.hamidi@jauh.ac.ir

مؤلف مسئول: مسعود حمیدی - همدان: باشگاه پژوهشگران جوان

۱. باشگاه پژوهشگران جوان و نخبگان، دانشگاه آزاد اسلامی، واحد همدان، همدان، ایران

۲. گروه گوش و حلق و بینی، دانشکده پزشکی، دانشگاه علوم پزشکی همدان، همدان، ایران

۳. گروه ایمونولوژی، مرکز تحقیقات پزشکی مولکولی، دانشکده پزشکی همدان، همدان، ایران

۴. گروه آسیب شناسی، دانشکده پزشکی، دانشگاه علوم پزشکی همدان، همدان، ایران

تاریخ دریافت: ۱۳۹۱/۹/۸ تاریخ ارجاع جهت اصلاحات: ۱۳۹۱/۱۱/۱۴ تاریخ تصویب: ۱۳۹۱/۱۲/۲۰

ارتباط بین سرطان نازوفارنکس با ویروس اپشتین-بار به طور قطع در اوایل سال ۱۹۷۳ تأیید شده است؛ ولی با این حال نقش این ویروس در آسیب شناسی NPC هنوز مورد بحث می باشد^(۷). مردان نسبت به زنان ۲ تا ۳ برابر بیشتر ریسک ابتلای به این بیماری را دارند^(۲). تشخیص NPC اغلب به خاطر علایم بالینی غیر اختصاصی و سختی مشاهده نازوفارنکس با مشکل روبرو است. زخم‌های ابتدایی عمولاً در زیر غشاء موکوسی هستند و در آزمایش آندوسکوبی اغلب تشخیص داده نمی شوند. بسیاری از تومورها یا در مراحل پایانی بیماری دیده می شوند و زمانی که به صورت متاستازهای سلول فلسفی گردن که اغلب آسیب شناسی واضحی در محل ابتدایی هم ندارند از نگاه تشخیصی مخفی می‌مانند. بنابراین تشخیص زودهنگام NPC، کارآیی درمان را افزایش داده و میزان ابتلاء و قوع متاستاز را کاهش می‌دهد^(۸). در این رابطه تکنیک PCR^۱ وسیله مؤثری برای تشخیص می باشد^(۹).

بر این اساس شاید بتوان با اثبات وجود ژنوم EBV در بیمارانی که تشخیص NPC در آنها اثبات شده، زمینه‌ای برای تحقیقات بعدی فراهم نمود. بدین صورت که مثلاً با انجام تست‌های تشخیص مولکولی در بیمارانی که در آنها شک بالینی به NPC وجود دارد تشخیص اولیه تقویت گردد و پزشک را در جهت تصمیم‌گیری برای اقدامات بعدی، از جمله انجام یا عدم انجام بیوپسی از نازوفارنکس یا غدد لنفاوی یاری نماید. شاید بتوان حتی از آزمون‌های مولکولی مانند PCR به عنوان تست غربالگری در بین افرادی که علایم پیشنهاد کننده این بیماری را دارند استفاده نمود. شکی نیست هرچه اطلاعات و نگرش ما نسبت به بیماری و ابعاد مختلف آن جامع تر و وسیع تر باشد به تشخیص زودرس منجر شده و بالطبع درمان نتیجه بخش تر خواهد بود به خاطر شیوع بالای سرطان نازوفارنکس در سنین جوانی از یک سو و جوان بودن جمعیت کشورها

بدخیم اپی تیال فضای پشت بینی است که از نظر هیستوپاتولوژی بر اساس طبقه‌بندی WHO به سه نوع کلاس I (کارسینوم سلولی اسکوآموس)، کلاس II (کارسینوم غیر کراتینی) و کلاس III (کم تمایز) تقسیم می‌شود. شیوع سرطان نازوفارنکس با موقعیت جغرافیایی، سن و نژاد وابستگی دارد. از آن‌جا که سرطان نازو فارنکس در جمعیت‌های خاصی دیده می‌شود و در کشورهای غربی تقریباً یافت نمی‌شود، هنوز شناخت کافی از آن وجود ندارد؛ با این حال تحقیقات بر روی تشخیص زود هنگام این سرطان و درمان آن متمرکز شده است. این تومور، بیشتر جوانان و اغلب افرادی را که در کارهای اقتصادی در حال فعالیت‌اند را مبتلا می‌کند. بنابراین جامعه پزشکی به دنبال تشخیص زود هنگام این سرطان قبل از شروع لفادنو- پاتی گردنی که نشانه گسترش تومور است- و درمان آن هستند^(۲). سرطان نازوفارنکس، از سرطان‌های نادر در ایران است و اطلاعات دقیقی از میزان شیوع آن در سطح کشور در دسترس نیست. طی سال‌های ۱۳۷۵ تا ۱۳۷۸ درصد شیوع این سرطان در استان اردبیل که بیشترین درصد سرطان‌های دستگاه گوارش فوقانی در ایران را داراست، ۰/۶ درصد در مردان و ۰/۸ درصد در زنان گزارش شده است^(۴، ۳). مهم‌ترین DNA ویروس‌هایی که به عنوان انکوژنیک در انسان شناخته شده‌اند شامل پاپیلوماویروس‌ها (HPV)، هپاتیت B (HBV) و ویروس اپشتین-بار (EBV)- می‌باشد^(۵). EBV یک ویروس سرطان‌زا است که باعث ایجاد بدخیمی‌های متعددی مثل سرطان نازوفارنکس و لنفوم بورکیت می‌شود^(۶). بیش از ۹۰ درصد جمعیت جوان دنیا به این ویروس آلوده‌اند. افراد آلوده، مدت طولانی از زندگی حامل این ویروس هستند. EBV از طریق تماس بزاقی منتقل شده و در طی عفونت حاد، اپی‌تیلیوم سنگ فرشی مطبق حنجره را آلوده می‌کند و در طی عفونت پنهان در درون لنفوسيت‌های B یافت می‌شود^(۵).

1. Polymerase chain reaction

جدول شماره ۱: سن، جنس، سال نمونه گیری و سرطانی یا غیر سرطانی بودن نمونه های به کار رفته در تحقیق

سرطان	سن	جنس	سال نمونه گیری	شماره نمونه		سرطان	سن	جنس	سال نمونه گیری	شماره نمونه	
				نمونه	نمونه					نمونه	نمونه
-	۱۸	M	۷۷	۲۶	+	۶۳	F	A	۸۷	۱	
+	۶۰	M	۷۷	۷۷	-	۱۸	F	A	۷۷	۲	
-	۱۳	F	۷۷	۷۸	+	۳۰	M	A	۸۷	۳	
+	۵۲	M	۸۶	۲۹	+	۴۶	M	A	۸۷	۴	
-	۲۰	F	۷۷	۳۰	+	۴۱	M	A	۸۷	۵	
+	۵۴	M	۸۸	۳۱	+	۲۱	M	A	۸۷	۶	
-	۴	F	۷۷	۳۲	+	۴۳	M	A	۷۷	۷	
+	۴۴	F	۷۷	۳۳	+	۸۱	M	A	۷۷	۸	
+	۶۲	M	۸۸	۳۴	+	۲۱	M	A	۸۷	۹	
+	۳۳	M	۷۷	۳۵	+	۴۲	M	A	۸۷	۱۰	
+	۳۵	F	۷۶	۳۶	-	۲۱	M	A	۷۷	۱۱	
+	۶۰	M	۷۳	۷۷	-	۴۵	M	A	۷۷	۱۲	
-	۷۷	F	۸۸	۷۸	-	۹	M	A	۷۷	۱۳	
-	۷۷	M	۸۱	۷۹	-	۳۱	F	A	۷۷	۱۴	
-	۶۶	M	۸۸	۴۱	-	۷	F	A	۷۷	۱۵	
+	۴۸	F	۷۳	۴۱	-	۵	F	A	۷۷	۱۶	
+	۳۳	F	۷۳	۴۲	-	۱۵	M	A	۷۷	۱۷	
+	۴۳	F	۷۳	۴۳	-	۱۴	M	A	۷۷	۱۸	
-	۵۶	M	۷۷	۴۴	+	۱۶	F	A	۷۷	۱۹	
-	۵۷	M	۸۸	۴۵	+	۴۶	M	A	۷۷	۲۰	
+	۲۱	M	۷۶	۴۶	-	۴۹	F	A	۷۷	۲۱	
-	۵۶	F	۸۸	۴۷	-	۲۲	M	A	۷۷	۲۲	
-	۳۵	F	۷۶	۴۸	+	۷	M	A	۷۷	۲۳	
-	۶۴	F	۷۹	۴۹	-	۵۰	F	A	۷۷	۲۴	
+	۷۰	M	۷۷	۵۰	-	۱۵	F	A	۷۷	۲۵	

ب) پارافین زدایی و استخراج ژنوم DNA

پس از اختصاص شماره به هر یک از بلوک ها، توسط دستگاه میکروتوم برش های ۱۰ میکرونی از هر یک از بلوک ها تهیه گردید. پس از قرار دادن برش های مربوطه در داخل میکروتیوب (ریزلوله) های ۱/۵ میلی لیتری که قبلاً استریل شده اند، مراحل پارافین زدایی و استخراج DNA با روش دستی و بر اساس دستور العمل استاندارد (۱۰) به شرح زیر انجام شد:

۱- ۱mL گریبلول به هر کدام از میکروتیوب های حاوی برش ها اضافه شد. پس از ۳۰ دقیقه انکوپاسیون در دمای اتاق، ساتیریفیوژ انجام گرفته و مایع رویی خارج گردید. این مرحله دو بار انجام می شد.

۲- ۱mL ۱اتانول درصد اضافه شد. ادامه کار مانند مرحله قبل صورت گرفت.

۳- ۱mL ۱اتانول درصد اضافه شد. ادامه کار مانند مرحله قبل انجام گردید.

از سوی دیگر، این مطالعه را به منظور تعیین میزان همراهی عفونت ویروس اپشتین-بار با سرطان نازوفارنکس طرح ریزی نمودیم.

مواد و روش ها

الف) نمونه برداری، چگونگی انتخاب نمونه، خصوصیات آن ها:

این مطالعه توصیفی- مقطعی بوده که در بیمارستان بعثت وابسته به دانشگاه علوم پزشکی همدان در سال ۱۳۸۸ انجام شد. در مورد سن و جنس و نتایج آزمون پاتولوژی، از پرونده های بیماران استفاده شد و در پرسشنامه های از قبل تهیه شده وارد شد؛ همچنین در این مطالعه تماس مستقیمی با بیمار وجود نداشته است و مداخله های در درمان صورت نگرفته و هزینه های جهت این مطالعه به بیمار تحمیل نگردیده است. بر اساس مطالعات قبلی حجم نمونه برای هر دو گروه ۲۵ نفر محاسبه گردید. جهت جمع آوری نمونه ها به پرونده های بیماران که در آزمایشگاه های پاتولوژی خصوصی شهر همدان (رازی و شفا) و آزمایشگاه های پاتولوژی بیمارستان های وابسته به دانشگاه علوم پزشکی همدان که در شهر همدان با یکانی شده اند، مراجعه گردید. ۲۵ بلوک پارافینه که بیوپسی نازوفارنکس در مورد آن ها انجام شد و از نظر سرطان نازوفارنکس به روش رنگ آمیزی هماتوکسیلین- اتوزین، مورد تأیید پاتولوژیست قرار گرفت، به همراه مشخصات آن ها که شامل سن، جنس و تاریخ بیوپسی می باشد، به عنوان گروه تست استخراج گردید. ۲۵ مورد بیوپسی از بافت نازوفارنکس از پرونده های پاتولوژی، که با شک بالینی سرطان نازوفارنکس تهیه شده اند به همراه مشخصات ذکر شده در بالا (سن، جنس و تاریخ بیوپسی)، به عنوان گروه شاهد انتخاب شد. اطلاعات مربوط به سن، جنس، سال نمونه گیری و سرطانی یا غیر سرطانی بودن آن ها در جدول شماره ۱ آمده است.

و پس از آن در دمای ۲۰- درجه سانتی گراد نگهداری گردید. در ضمن ویال حاوی سوش استاندارد EBV که در رده سلولی B95-8 کشت داده شده است NCBI در رده سلولی C110 (Code: C110) و از بانک سلولی انتیتو پاستور ایران خریداری شده بود، مورد استخراج DNA قرار گرفت و به عنوان کنترل مثبت در PCR به کار گرفته شد.

ج) کنترل کیفی DNA استخراج شده: در این مرحله قابلیت تکثیر DNA استخراج شده ابتدا توسط PCR، برای ژن بتا- گلوبین انسانی کنترل شد تا نمونه های حاوی مقدار کافی DNA، به منظور PCR ژنوم EBV به کار روند. واکنش PCR در حجم نهایی ۱۰ میکرولیتر انجام گرفت (جدول شماره ۳). ۲ میکرولیتر از حجم نهایی را محلول واجد DNA الگو تشکیل می دهد. ۱/۵ میکرولیتر MgCl₂، ۲ میکرولیتر بافر PCR، ۱ میکرولیتر Taq DNA محلول حاوی dNTP و ۰/۰ واحد آنزیم Polymerase به هر واکنش افزوده شد. ۲ میکرولیتر از پرایمرهای مربوطه نیز اضافه گردید (جدول شماره ۲). حجم نهایی واکنش به کمک آب مقطر، به ۱۰ میکرولیتر رسانده شد (جدول شماره ۲). برای انجام الکتروفورز، ژل آگارز ۲ درصد حاوی اتیدیوم بروماید Loading Buffer تهیه شد. برای ساخت بافر پر چگال (Loading Buffer)، از ترکیب ۰/۲۵ درصد برموفنل بلو، ۰/۲۵ درصد زایلن سیانول FF ، ۰/۳۰ درصد گلیسرول و آب مقطر استفاده گردید، پس از انجام الکتروفوروز با ولتاژ ۱۰۰، مورد بررسی قرار گرفتند که در مجاورت DNA Ladder ۱۰۰bp که از شرکت فرمتوساز و Fermentas تهیه گردید، نمونه ها توسط دستگاه (ژل داک) در زیر Transluminator بررسی گردیدند. باندهای ۲۶۸ نوکلوتیدی نماینگر مثبت بودن تست است (تصویر شماره ۱).

۴- ۱mL از محلول PBS اضافه گردید. پس از ۱۵ دقیقه انکوباسیون در دمای اتاق، سانتریفیوژ انجام شد و مایع رویی را خارج گردیم. این مرحله نیز دو بار انجام شد.

۴- ۵۰۰ میکرولیتر از بافر لیزکنندۀ اضافه شد. محصول حاضر به مدت یک شب در دمای ۵۲ °C نگهداری شده تا بافت های قطعه قطعه شده به صورت کامل حل شوند.

۵- ۵۰۰ میکرولیتر فنل اضافه گردید و توسط ورتكس مخلوط شد.

۶- در دور ۱۲۰۰۰g به مدت ۲۰ دقیقه سانتریفیوژ انجام شد.

۷- مایع رویی توسط پیست ۱۰۰ میکرولیتری به یک میکروتیوب استریل دیگر منتقل گردید.

۸- یک حجم کلروفرم اضافه شده و توسط ورتكس مخلوط گردید.

۹- در دور ۱۲۰۰۰g به مدت ۵ دقیقه سانتریفیوژ صورت گرفت.

۱۰- مایع رویی با احتیاط به یک میکروتیوب استریل دیگر انتقال یافت.

۱۱- ۰/۱ واحد استات سدیم ۳M به میکروتیوب جدید اضافه گردید.

۱۲- ۱ واحد ایزوپروپانول اضافه شد و در دمای ۲۰ درجه سانتی گراد به مدت یک شب نگهداری گردید.

۱۳- DNA ته نشین شده در ۱۲۰۰۰g به مدت ۲۰ دقیقه سانتریفیوژ شد.

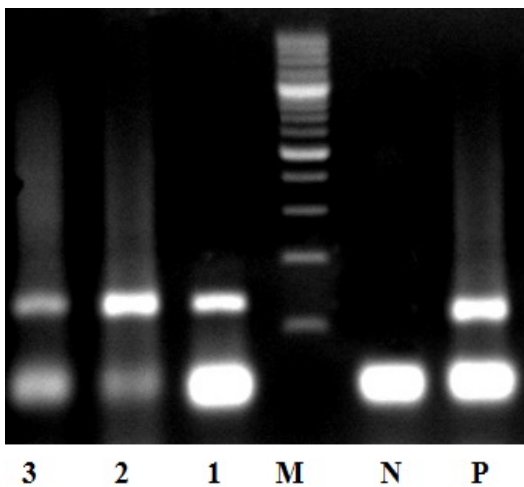
۱۴- پس از خارج کردن مایع رویی، اتانول ۷۵ درصد اضافه کرده و سانتریفیوژ انجام گرفت.

۱۵- DNA استخراج شده پس از خشک شدن کامل در زیر هود، در ۵۰ میکرولیتر آب دیونیزه حل شد

جدول شماره ۲: توالی پرایمرهای مورد استفاده برای تکثیر ژن بتا- گلوبین انسانی و ژن LMP-1

Gene	Primer	Primer sequence	Expected Amplicon Size (bp).	Length(bp)
Beta-globin	GH20	5'-GAA-GAG-CCA-AGC-ACA-GGT-AC-3'		20
	PC04	5'- CCA-CTT-CAT-CCA-CGT-TCA-CC -3'	268	20
LMP-1	Bam HIW1	5'- CCAGACAGC AGCCAATTGTC -3'		20
	Bam HIW2	5'- GGTAGA AGACCC CCTCTT AC -3'	129	20

تجزیه و تحلیل اطلاعات: داده‌های جمع‌آوری شده تحت برنامه SPSS نسخه ۱۶، وارد رایانه گردید و توسط تست‌های آماری Chi-square و t-test و تجزیه و تحلیل گردید.



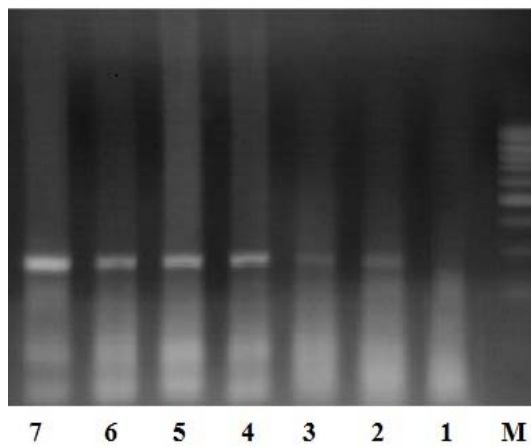
تصویر شماره ۲: عکس ژل الکتروفورز محصول PCR ژن بتا-گلوبین انسانی. بار (M): Molecular mass marker. N: کنترل منفی (آب مقطر استریل). P: کنترل مثبت (سوش استاندارد EBV/B95-8). تیپ (۱-۳): شماره نمونه‌ها (همگی باند ۱۲۹ نوکلئوتیدی را نشان داده اند و EBV مثبت هستند).

جدول شماره ۳: شرایط واکنش PCR برای ژن بتا-گلوبین انسانی

Sr. No	Steps	Temp	Time
Step 1	Initial denaturation	97°C	4 min
Step 2	Denaturation	94°C	30 sec
Step 3	Annealing	55°C	30 sec
Step 4	Extension	72°C	30Sec
Step 5	50 cycles from step 2 to step 4		
Step 6	Final Extension	72°C	3 min

جدول شماره ۴: شرایط واکنش PCR برای ژن LMP-1

Sr. No	Steps	Temp	Time
Step 1	Initial denaturation	95°C	5 min
Step 2	Denaturation	95°C	30 sec
Step 3	Annealing	58°C	30 sec
Step 4	Extension	72°C	1 min
Step 5	35 cycles from step 2 to step 4		
Step 6	Final Extension	72°C	5 min



تصویر شماره ۱: عکس ژل الکتروفورز محصول PCR ژن بتا-گلوبین انسانی. باندهای ۲۶۸ نوکلئوتیدی نماینگر مثبت بودن تست استخراج موافقیت آمیز است. (Molecular mass marker: M) شماره نمونه‌ها (۷-۱).

د) شرایط واکنش PCR برای ژن LMP-1 ویروس اپشتین-بار: پس از انجام PCR ژن بتا-گلوبین انسانی، PCR برای ژن LMP-1 ویروس اپشتین-بار انجام شد. در نهایت، شرایط بهینه با مشاهده عکس ژل الکتروفورز، به شرح زیر به دست آمد: واکنش PCR در حجم نهایی ۱۰ میکرولیتر انجام گرفت. ۲ میکرولیتر محلول واجد DNA الگو، ۱/۵ میکرولیتر $MgCl_2$ ، ۲ میکرولیتر بافر PCR، ۱ میکرولیتر محلول حاوی dNTP و ۰/۲ واحد آنزیم Taq DNA Polymerase به هر واکنش افزوده شد. ۲ میکرولیتر از پرایمرهای مربوطه نیز اضافه گردید (جدول شماره ۲). این پرایمرها ناحیه موسوم به BamHIW را که اغلب در روش‌های تشخیص کیفی EBV به کار می‌رود و در ژنوم ویروس تکرار می‌شود را تکثیر می‌کنند (۱۱). حجم نهایی واکنش را به کمک آب مقطر به ۱۰ میکرولیتر رسانده شد (جدول شماره ۴). جهت تشخیص و تعیین اندازه محصول واکنش PCR الکتروفورز مانند روش گفته شده برای ژن بتا-گلوبین انسانی انجام گردید. باندهای ۱۲۹ نوکلئوتیدی نماینگر مثبت بودن تست است (تصویر شماره ۲).

جدول شماره ۸: مقایسه فراوانی EBV-DNA⁺ در دو گروه

جمع	گروه ها		تعداد (درصد)	بدون سرطان نازوفارنکس	دارای سرطان نازوفارنکس
	تعداد	تعداد (درصد)			
۳۸	(۵۲) ۱۳	(۹۲) ۲۳	EBV-DNA ⁺		
۱۲	(۴۸) ۱۲	(۸) ۲	EBV-DNA ⁻		
۵۰	(۱۰۰) ۲۵	(۱۰۰) ۲۵	جمع		

بحث

حساسیت تشخیص ژن LMP-1 ویروس اپشتین-بار درصد، اختصاصیت آن ۴۸ درصد، ارزش پیشگویانه ۹۲ مثبت ۶۰/۵۳ درصد و ارزش پیشگویانه منفی ۸۶ درصد به دست آمد. اطلاعات حاصله نشان می‌دهد که ارتباط معنی‌داری بین حضور ژنوم EBV با ابتلا به سرطان نازوفارنکس در جمعیت شهری همدان وجود نداشته و این فرض را که آسیب شناسی سرطان نازوفارنکس فرآیندی چندعاملی است را تقویت می‌کند. در ضمن، نتیجه مثبت آزمون PCR در تشخیص سرطان به تنها بی کمک کننده نیست و نتیجه منفی آن ارزش بیشتری دارد. ویروس EBV در سلول‌های بافت سرطانی با تپی‌های متعدد و بدون توجه به بافت‌شناسی یا تمایز آن حضور دارد. DNA ویروس همچنین در مرحله پیش‌تھاجمی سرطان نازوفارنکس (مرحله سوم شوپلازی درون اپیتیالی نازوفارنکس) حضور دارد. اگر چه EBV تقریباً توسط تمامی افراد بالغ حمل می‌شود و لنفوسيت‌های B تنها مخزن ویروس در این افراد است، اما عفونت همیشگی سلول‌های اپیتیال با این ویروس تنها در تومورهای بد خیم همچون سرطان نازوفارنکس دیده می‌شود، بنابراین تشخیص DNA ویروس اپشتین-بار در نمونه‌های بیوپسی نازوفارنکس یا متاستازهای گردنی پیشگویی قابل توجهی از سرطان نازوفارنکس را

یافته‌ها

از ۲۵ بیمار گروه مورد، ۷ نفر زن و ۱۸ نفر مرد بودند و نسبت مرد به زن ۲/۶ محاسبه گردید. میانگین سنی بیماران ۴۴/۶۴ بود. از ۲۵ نفر گروه کنترل، ۱۱ نفر زن و ۱۴ نفر مرد بودند و نسبت مرد به زن ۱/۳ محاسبه شد. میانگین سنی در این گروه ۳۲/۲۸ بود. جداول شماره ۷-۵ مقایسه جنسی و سنی و میانگین سنی در بیماران مبتلا به NPC و غیر آن را نشان می‌دهد.

در مطالعه‌ای که ما انجام دادیم میزان همراهی EBV در بیماران دارای سرطان نازوفارنکس از لحاظ آماری معنی‌دار نبود ($p > 0$) و یافته‌های قبلی در این مورد را اثبات می‌کند. جداول شماره ۸ و ۹ نتایج آزمون‌های آماری (آزمون‌های فراوانی و آزمون‌های Chi-square و t-test) انجام شده را نشان می‌دهد.

جدول شماره ۵: مقایسه جنسی در بیماران مبتلا به NPC و غیر آن

گروه های مورد مطالعه	زن		مرد		تعداد (درصد)	تعداد (درصد)	بدون سرطان نازوفارنکس	دارای سرطان نازوفارنکس
	تعداد	تعداد (درصد)	تعداد	تعداد (درصد)				
(۱۰۰) ۲۵	(۳۳/۳۳) ۷	(۶۲/۰۷) ۱۸	(۱۰۰) ۲۵	(۶۶/۶۶) ۱۴	(۳۷/۹) ۱۱	(۶۳/۳۳) ۷	بدون سرطان نازوفارنکس	دارای سرطان نازوفارنکس
(۱۰۰) ۵۰	(۴۲) ۲۱	(۵۸) ۲۹					جمع	جمع

جدول شماره ۶: مقایسه سنی در بیماران مبتلا به NPC و غیر آن

گروه های مورد مطالعه	سن		تعداد	میانگین سنی	انحراف معیار	معنی داری	سطح
	میانگین سنی	انحراف معیار					
دارای سرطان نازوفارنکس	۲۷/۸	۱۸/۸۹	۲۵	۴۴/۶۴	۲۱/۲۴	۰/۰۷	۰/۰۵
بدون سرطان نازوفارنکس	۴/۲۴	۲۱/۲۴	۲۵	۳۲/۲۸	۲۱/۲۴	۰/۰۷	۰/۰۵

جدول شماره ۷: مقایسه میانگین سنی بیماران دارای سرطان نازوفارنکس

بر حسب جنس

جنس	تعداد	میانگین سنی	انحراف معیار
مرد	۱۸	۴۰/۹	۱۹/۶
زن	۷	۳۸/۱	۲۳/۵

جدول شماره ۹: مقدارهای مربوط به حساسیت، اختصاصیت، ارزش پیشگویانه مثبت (PPV) و ارزش پیشگویانه منفی (NPV) آزمون PCR برای ژن LMP-1 ویروس اپشتین-بار در بیماران با و بدون سرطان نازوفارنکس

حساسیت (sensitivity)	اصفاتیت (specificity)	متغیر	ارزش پیشگویانه مثبت (PPV)	ارزش پیشگویانه منفی (NPV)
موارد دارای سرطان که PCR آن ها مثبت	موارد بدون سرطان که PCR آن ها منفی	ارزش پیشگویانه مثبت / PCR آن ها مثبت است / موارد دارای سرطان که PCR آن ها منفی	ارزش پیشگویانه مثبت / PCR آن ها مثبت است / موارد بدون سرطان که PCR آن ها منفی	ارزش پیشگویانه منفی / PCR آن ها منفی است / موارد بدون سرطان که PCR آن ها منفی
است / تمام بیماران سرطانی	است / تمام بیماران غیر سرطانی	تمام مواردی که PCR آن ها مثبت است	تمام مواردی که PCR آن ها مثبت است	تمام مواردی که PCR آن ها منفی است
۴۸ درصد	۹۲ درصد	۶۰/۵۳ درصد	۵۳/۴۷ درصد	۴۷/۴۳ درصد

نوع عفونت را تشخیص نداده‌اند. این اطلاعات دال بر قوع عفونت خفته EBV در مراحل اولیه تومور زایی است^(۱). LMP-1 انکوژن اولیه EBV بوده که در حدود ۵۰ تا ۷۰ درصد بیماران دارای NPC تشخیص تقریباً داده می‌شود. اگرچه بیان این پرتوئین در تمامی موارد NPC که با روش‌های ایمunoهیستوشیمی تشخیص داده می‌شود یکسان نیست، اما غربالگری نمونه‌های NPC با وسیله PCR می‌تواند تشخیص ژن LMP-1 را با حساسیت و اختصاصی بالایی بهبود دهد.

Hao و همکارانش حضور ژنوم اختصاصی EBV را در نمونه‌های سواب نازوفارنکس با حساسیت ۹۴/۷ درصد و اختصاصی ۱۰۰ درصد نشان داده‌اند. در مطالعه‌ای دیگر اختصاصیت تشخیص ژن LMP-1 را ۹۸/۴ درصد و حساسیت آن را ۸۷/۳ درصد گزارش کرده‌اند.

Tsang و همکارانش حساسیت و اختصاصی تشخیص NPC را با PCR به ترتیب ۹۵/۶ درصد و ۹۸/۷ درصد ذکر کرده‌اند. محمد محمدیان پناه و همکارانش در مطالعه‌ای در شیراز حضور ژن LMP-1 را با PCR در بیوپسی‌های غدد لنفاوی بیماران دارای NPC با حساسیت ۸۰ درصد و اختصاصیت ۱۰۰ درصد گزارش کرده‌اند و در نمونه‌های سرطانی دیگر سر و گردن ژن LMP-1 تشخیص داده نشده است^(۱۰).

Yap و همکارانش در تحقیقات خود نتیجه گرفته‌اند که تشخیص EBV به وسیله PCR می‌تواند در کنار آزمایشات آسیب شناختی بافتی (HPE) به کار رود و به عنوان جایگزین HPE مورد استفاده قرار گیرد. به علاوه تشخیص EBV می‌تواند پیشرفت NPC را پیش‌بینی کرده و انجام بیوپسی‌های پشت سرهم را با پیگیری‌های منظم تغییر نماید. یک مزیت عمده تشخیص EBV-DNA به وسیله PCR، دریافت سریع نتایج در طول ۳ تا ۵ ساعت در مقایسه با HPE است، که زمان طولانی تری را می‌طلبد^(۱۲).

Tsai و همکارانش EBV-DNA را به وسیله PCR

طرح می‌کند. مطالعات متعددی در خارج از آسیای جنوب شرقی مشخص می‌کند که تشخیص EBV-PCR در غدد لنفاوی با استفاده از PCR و هیبریداسیون درجا، حساسیت بالا (۸۹-۱۰۰) و اختصاصیت بالا (۷۸-۱۰۰) دارد^(۱۲). نمونه‌های اپتلیال بافت نازوفارنکس که اطراف بافت سرطانی قرار دارند، با روش nested-PCR برای EBV-DNA مثبت شده‌اند در حالی که به وسیله هیبریداسیون درجا گاهی سیگنال‌هایی از هسته سلول‌ها مشاهده شده است، اما این سلول‌های نرمال برای پرتوئین‌های ویروسی و RNA های آن، منفی بوده‌اند که نشان دهنده این است که اپی تلیوم نازوفارنکس اولین محل عفونت است چرا که ژنوم ویروسی در این سلول‌ها قرار گرفته است، در حالی که پرتوئین‌ها و RNA هایی که برای ایجاد حالت بد خیم ضروری هستند تشخیص داده نشده‌اند^(۱۳). Lees JF و همکارانش با کمک روش PCR و ISH (هیبریداسیون درجا) نشان داده‌اند که EBV-DNA در بافت نازوفارنکس افراد سالم با فراوانی ۷۰ درصد وجود دارد. آن‌ها نتیجه گیری کرده‌اند که آسیب شناسی سرطان نازوفارنکس یک فرآیند چند مرحله‌ای است^(۱۴). اولین مطالعه‌ای که در این رابطه در ایران انجام شده است توسط ندا میرزمانی و همکارانش در سطح بیمارستان‌های رسول اکرم (ص) و فیروزگر بوده که در سال ۸۳ انجام شده است که همراهی EBV با سرطان نازوفارنکس تیپ ۲ و ۳ را در جمعیت مورد مطالعه با فراوانی ۹۵ درصد تأیید کرده‌اند. در میان نمونه‌های آن‌ها تیپ ۱ اصلًا وجود نداشته است^(۱۵). مشاهده شده است که در سلول‌های مبتلا به EBV، ژنوم NPC، هموژن و یکدست بوده و از یک سلول منفرد تکثیر انجام شده است. به کمک روش هیبریداسیون درجا برای^۱ عفونت خفته EBV را در تمامی سلول‌های سرطانی و زخم‌های پیش سرطانی با درجه بالا تشخیص داده‌اند اما در زخم‌های پیش سرطانی با درجه پایین این

بیماران مبتلا به سرطان نازوفارنکس درمان عفونت EBV علاوه بر شیمی درمانی جهت جلوگیری از عود صورت گیرد.^۳- ارتباط سایر ویروس‌های ایجاد کننده عفونت خفته در سلول‌های میزبان بررسی گردد.^۴- قدرت و توانایی سرطان‌زاویی هر عامل شیمیایی یا فیزیکی، باید در سلول‌های آلوده به EBV بررسی گردد.^۵- در صورت امکان، درمان عفونت‌های خفتة ویروسی در بیماران غیر سرطانی که EBV-DNA مثبت هستند، مورد توجه قرار گیرد.^۶- پیشگیری از حضور افراد آلوده به EBV در مکان‌ها و یا مشاغلی که احتمال وجود سرطان‌زاها و موتاژن‌ها در آن بالاست جلوگیری گردد.^۷- تحقیقات بعدی به صورت آینده‌نگر و با تحلیل آماری دقیق‌تر و به صورت کمی (میزان DNA) اجرا شود.

در جریان کسب اطلاعات لازم جهت این تحقیق، نکاتی بیشتر قابل تأمل است تا در تحقیقات آینده بتوان به نتایجی دقیق‌تر و جامع‌تر رسید: نحوه بایگانی نتایج پاتولوژی با اشکالات عمدہ‌ای همراه بود و از یک سیستم طبقه‌بندی مشخص پیروی نمی‌کرد که در صورت رفع این مشکلات، دستیابی به اطلاعات آسان‌تر خواهد شد (رايانه‌ای کردن اطلاعات و نتایج پاتولوژی). در ضمن توصیه می‌شود جهت مطالعه دقیق و جلوگیری از فقدان داده‌ها، در موارد تحقیقاتی مورد علاقه بخش‌های مختلف، پرسشنامه‌هایی تهیه شود که اطلاعات مورد نظر آن‌ها از ابتدا با دقت در آن‌ها خبیط گردد تا بدین وسیله از اعمال سلیقه افراد در موارد گوناگون جلوگیری شود و مطالعات استاندارد گردد.

سپاسگزاری

این مطالعه در قالب پایان نامه کارشناسی ارشد مصوب دانشگاه شاهد انجام شد. از زحمات جناب آقای مهندس مانی که تحلیل آماری این مطالعه را انجام دادند و جناب آقای دکتر ستاری و جناب آقای عباسی که ما را در جمع‌آوری نمونه‌ها یاری فرمودند، سپاسگزاری می‌گردد.

در ۹۰/۷ درصد نمونه‌های بیوپسی بیماران دارای NPC شناسایی کرده‌اند؛ در حالی که هیبریداسیون درجا برای EBER در ۹۸/۱ درصد نمونه‌ها مثبت بوده است. از طرفی ۱۱/۵ درصد بیماران بدون سرطان، که با شک به EBV-DNA از آن‌ها بیوپسی انجام شده بود، برای PCR مثبت شده‌اند؛ اما هیبریداسیون درجا توسط روش PCR جایگزین مناسبی برای تشخیص NPC برای EBER است. این محققان نتیجه گرفته‌اند که هیبریداسیون درجا NPC جایگزین نسبتی دیگر که PCR را مناسب‌تر می‌دانند.^(۱۶،۱۷)

به هر حال بسیاری از سوالات در رابطه به نقش EBV در ایجاد NPC هنوز بدون پاسخ مانده‌اند، از جمله: ۱- مشاهدات کثونی در مورد ریسک فاکتورهای محلی و منطقه‌ای، استعداد ژنتیکی و تغییرپذیری سویه‌های EBV که به طور کامل اختلاف گسترده‌ای را که در شیوع NPC دیده می‌شود یا نمی‌تواند توجیه کند. ۲- به طور کامل روشن نیست که در کدام مرحله از تکثیر سلولی (سلول نرمال، آسیب مقدماتی اولیه یا آسیب مقدماتی ثانویه) EBV وارد صحنه می‌شود. اگرچه به خوبی مشخص شده است که می‌تواند سلول‌های اپیتلیال را آلوده کند و سلول‌های پیش‌ساز مرحله ثانویه راحت‌تر از سلول‌های پیش‌ساز مرحله اولیه آلوده می‌شوند. ۳- کاملاً واضح نیست که کدام نوع از تغییرات ژنتیکی سلول میزبان در طول تغییر بدخیمی با EBV میان کنش می‌دهد و تا چه حد محیط در توسعه این تغییرات نقش دارد. قبل از این که EBV به عنوان عامل اصلی ایجاد NPC تلقی گردد، باید پاسخ این سوالات را یافت. امید است که این تحقیق قدمی در جهت بررسی‌های بیش‌تر در زمینه‌های مختلف این بیماری باشد. پیشنهاد می‌شود: ۱- پیگیری بیماران مبتلا به غیر سرطان نازوفارنکس که EBV مثبت هستند در فواصل زمانی منظم و به صورت طولانی مدت از نظر ابتلاء به سرطان نازوفارنکس، صورت گیرد. ۲- در

References

1. Niedobitek G, Young LS. Epstein-Barr virus persistence and virus-associated tumours. *Lancet* 1994; 343(8893): 333-5.
2. Tay WL, Tan PH, Yip GWC, Bay BH. Nasopharyngeal Carcinoma: an Enigmatic Tumor. *Annu Rev Biomed Sci* 2008; 10: 27-35.
3. Khademi B, Mahmoodi J, Omidvari S, Mohammadianpanah M. Treatment results of nasopharyngeal carcinoma: a 15-year single institutional experience. *J Egypt Natl Canc Inst.* 2006; 18(2): 147-55.
4. Sadjadi A, Malekzadeh R, Derakhshan MH, Sepehr A, Nouraei M, Sotoudeh M, et al. Cancer occurrence in Ardabil: Results of a population-based Cancer Registry from Iran. *Int J Cancer.* 2003; 107(1): 113-8.
5. Tahmasebi Fard Z, Khojreh L. Association between Epstein-Barr Virus and Breast Carcinoma. *J Mazand Univ Med Sci.* 2012; 22(95): 85-91
6. Ghasemi M, Abedian Kenari S, Torabizadeh Z, Iri N, Marjani J, Mirabi A. The Relationship between Epstein-Barr Virus (EBV) and Virus-Encoded BARF-1 Gene in Gastric Adenocarcinoma. *J Mazand Univ Med Sci.* 2011; 21(82): 10-6.
7. Niedobitek G. Epstein-Barr virus infection in the pathogenesis of nasopharyngeal carcinoma. *Mol Pathol* 2000; 53(5): 248-254.
8. Tune CE, Liavaag PG, Freeman JL, van den Brekel MW, Shpitzer T, Kerrebijn JD, et al. Nasopharyngeal brush biopsies and detection of nasopharyngeal cancer in a high-risk population. *J Natl Cancer Inst.* 1995; 91(9): 796-800.
9. Gulley ML, Raab-Traub N. Detection of Epstein-Barr virus in human tissues by molecular genetic techniques. *Arch Pathol Lab Med* 1993; 117(11): 1115-1120.
10. Khademi B, Mahmoudi J, Monabati A, Maghsoudi B, Ashraf MJ, Mohammadianpanah M, et al. Molecular diagnosis of nasopharyngeal carcinoma using detection of Epstein-Barr virus latent membrane protein-1 gene in cervical metastatic lymph nodes. *Am J Otolaryngol* 2009; 30(2): 95-100.
11. M. LP. DNA Viruses: Methods and Protocols. Totowa, New Jersey: Humana Press Inc; 2005.
12. Yap Y, Hassan S, Chan M, Choo P, Ravichandran M. Epstein-Barr virus DNA detection in the diagnosis of nasopharyngeal carcinoma. *Otolaryngol Head Neck Surg* 2007; 136(6): 986-991.
13. Burgos JS. Involvement of the Epstein-Barr virus in the nasopharyngeal carcinoma pathogenesis. *Med Oncol* 2005; 22(2): 113-121.
14. Lees JF, Goodeve AC, Arrand JE, Ghosh AK, Jones PH, Arrand JR. Detection of EBV DNA in post nasal space biopsy tissue from asymptomatic EBV seropositive individuals. *J of Med Virol* 2005; 37(1): 30-38.
15. Mirzamani N, Salehian P, Farhadi M, Tehran E. Detection of EBV and HPV in nasopharyngeal carcinoma by in situ hybridization. *Exp Mol Pathol* 2006; 81(3): 231-234.
16. Tsai ST, Jin YT, Mann RB, Ambinder RF. Epstein barr virus detection in nasopharyngeal tissues of patients with suspected nasopharyngeal carcinoma. *Cancer* 1998; 82(8): 1449-1453.
17. Hao SP, Tsang NM, Chang KP, Ueng SH. Molecular diagnosis of nasopharyngeal carcinoma: detecting LMP-1 and EBNA by nasopharyngeal swab. *Otolaryng Head neck* 2004; 131(5): 651-654.
18. Zur Hausen H. Infections causing human cancer. Weinheim Chichester: Wiley-VCH ; John Wiley distributor; 2006. 517.